

Dernière mise à jour des informations: Avril 2025

Configuration du produit: RT88.S4

RT88.S4: Corps éclairant L=880 - Neutral White - DALI intégré - Optique Very Wide Flood (Down) - 58.1W 8265lm - 4000K - CRI 90 - Noir/Noir/Noir Transparent

**Référence produit**

RT88.S4: Corps éclairant L=880 - Neutral White - DALI intégré - Optique Very Wide Flood (Down) - 58.1W 8265lm - 4000K - CRI 90 - Noir/Noir/Noir Transparent

Description technique

Corps éclairant en aluminium extrudé peint, collerette et embouts en matière thermoplastique moulée par injection. Optique Very Wide Flood (80°) en version Space Opti-Diamond (PMMA) avec cache postérieur en version blanche (Blanc transparent) ou noire (Noir transparent). Alimentation gradable DALI intégrée à source LED (Mid-Power) monochrome Neutral White (4000K) IRC90 à émission directe.

Installation

De type rail à tension de réseau

Coloris

Noir/Noir/Noir Transparent (S4)

Poids (Kg)

2.73

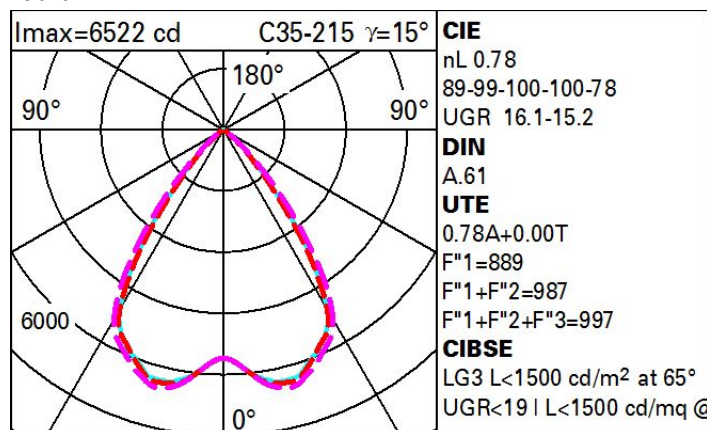
Montage

rail dali/fixé à un rail 3 allumages

Conforme à la norme EN60598-1 et à la réglementation en vigueur (ou à la réglementation relative)

**Données techniques**

| | | | |
|--|-------|---|--|
| Im du système: | 8541 | Code Lampe: | LED |
| W du système: | 63 | Nombre de lampes par groupe optique: | 1 |
| Im source: | 10950 | Code ZVEI: | LED |
| W source: | 63 | Nombre de groupes optiques: | 1 |
| Efficacité lumineuse (lm/W, valeurs du système): | 135.6 | Facteur de puissance: | Voir Notice de montage |
| Im en mode secours: | - | Courant d'appel: | 10 A / - µs |
| Flux total émis à un angle de 90° ou plus [Lm]: | 0 | Nombre maximal d'appareils par disjoncteur: | B10A: 12 appareils B16A: 20 appareils C10A: 20 appareils C16A: 34 appareils |
| Light Output Ratio (L.O.R.) [%]: | 78 | % minimum de gradation: | 1 |
| IRC (minimum): | 90 | Protection de surtension: | 2kV Mode commun e 1kV Mode différentiel |
| Température de couleur [K]: | 4000 | Control: | DALI-2 |
| MacAdam Step: | 3 | | |

Polaire

Coefficients d'utilisation

| R | 77 | 75 | 73 | 71 | 55 | 53 | 33 | 00 | DRR |
|------|----|----|----|----|----|----|----|----|-----|
| K0.8 | 66 | 62 | 59 | 56 | 61 | 58 | 58 | 55 | 70 |
| 1.0 | 70 | 66 | 63 | 61 | 65 | 62 | 62 | 59 | 76 |
| 1.5 | 75 | 72 | 69 | 67 | 71 | 69 | 68 | 65 | 84 |
| 2.0 | 78 | 75 | 74 | 72 | 74 | 73 | 72 | 69 | 89 |
| 2.5 | 79 | 78 | 76 | 75 | 76 | 75 | 74 | 72 | 92 |
| 3.0 | 81 | 79 | 78 | 77 | 78 | 77 | 76 | 74 | 94 |
| 4.0 | 82 | 81 | 80 | 79 | 79 | 79 | 77 | 75 | 96 |
| 5.0 | 82 | 82 | 81 | 80 | 80 | 79 | 78 | 76 | 97 |

Courbe limite de luminance

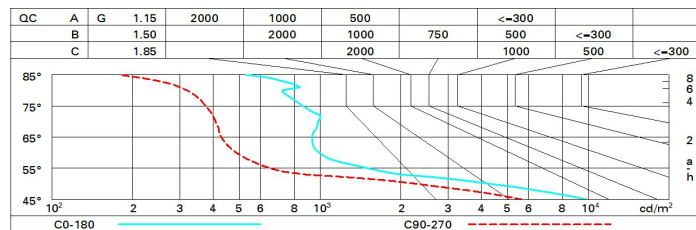


Diagramme UGR

| Corrected UGR values (at 10950 lm bare lamp luminous flux) | | | | | | | | | | | |
|--|------|---------------------|------|------|------|------|-------------------|------|------|------|------|
| Riflect.: ceil/cav walls work pl. Room dim x y | | 0.70 | 0.70 | 0.50 | 0.50 | 0.30 | 0.70 | 0.70 | 0.50 | 0.50 | 0.30 |
| | | 0.50 | 0.30 | 0.50 | 0.30 | 0.30 | 0.50 | 0.30 | 0.50 | 0.30 | 0.30 |
| | | 0.20 | 0.20 | 0.20 | 0.20 | 0.20 | 0.20 | 0.20 | 0.20 | 0.20 | 0.20 |
| | | viewed crosswise | | | | | viewed endwise | | | | |
| 2H | 2H | 10.6 | 17.3 | 10.9 | 17.5 | 17.8 | 15.7 | 10.4 | 10.0 | 10.7 | 10.9 |
| | 3H | 10.5 | 17.1 | 10.8 | 17.4 | 17.7 | 15.6 | 10.2 | 15.9 | 10.5 | 10.8 |
| | 4H | 10.4 | 17.0 | 10.8 | 17.3 | 17.6 | 15.5 | 10.1 | 15.9 | 10.4 | 10.7 |
| | 6H | 10.4 | 16.9 | 10.7 | 17.2 | 17.6 | 15.4 | 10.0 | 15.8 | 10.3 | 10.6 |
| | 8H | 10.3 | 16.9 | 10.7 | 17.2 | 17.5 | 15.4 | 15.9 | 15.8 | 10.3 | 10.6 |
| | 12H | 10.3 | 16.8 | 10.7 | 17.2 | 17.5 | 15.4 | 15.9 | 15.8 | 10.2 | 10.6 |
| 4H | 2H | 10.4 | 17.0 | 10.7 | 17.3 | 17.8 | 15.5 | 10.1 | 15.9 | 10.4 | 10.7 |
| | 3H | 10.3 | 16.8 | 10.6 | 17.1 | 17.5 | 15.4 | 15.9 | 15.8 | 10.3 | 10.6 |
| | 4H | 10.2 | 16.6 | 10.6 | 17.0 | 17.4 | 15.3 | 15.8 | 15.7 | 10.2 | 10.5 |
| | 6H | 10.2 | 16.5 | 10.6 | 16.9 | 17.4 | 15.3 | 15.6 | 15.7 | 10.0 | 10.5 |
| | 8H | 10.1 | 16.5 | 10.6 | 16.9 | 17.3 | 15.2 | 15.6 | 15.7 | 10.0 | 10.4 |
| | 12H | 10.1 | 16.4 | 10.6 | 16.8 | 17.3 | 15.2 | 15.5 | 15.6 | 15.9 | 10.4 |
| 8H | 4H | 10.1 | 16.4 | 10.5 | 16.9 | 17.3 | 15.3 | 15.6 | 15.7 | 10.0 | 10.5 |
| | 6H | 10.0 | 16.3 | 10.5 | 16.8 | 17.2 | 15.2 | 15.5 | 15.7 | 15.9 | 10.4 |
| | 8H | 10.0 | 16.3 | 10.5 | 16.7 | 17.2 | 15.1 | 15.4 | 15.6 | 15.9 | 10.4 |
| | 12H | 10.0 | 16.2 | 10.5 | 16.7 | 17.2 | 15.1 | 15.3 | 15.6 | 15.8 | 10.3 |
| 12H | 4H | 10.0 | 16.4 | 10.5 | 16.8 | 17.2 | 15.2 | 15.5 | 15.7 | 10.0 | 10.4 |
| | 6H | 10.0 | 16.2 | 10.5 | 16.7 | 17.2 | 15.1 | 15.4 | 15.6 | 15.9 | 10.4 |
| | 8H | 10.0 | 16.2 | 10.5 | 16.7 | 17.2 | 15.1 | 15.3 | 15.6 | 15.8 | 10.3 |
| Variations with the observer position at spacing: | | | | | | | | | | | |
| S = | 1.0H | 3.6 / -8.7 | | | | | 3.8 / -9.6 | | | | |
| | 1.5H | 6.3 / -9.7 | | | | | 6.2 / -10.3 | | | | |
| | 2.0H | 8.3 / -10.3 | | | | | 8.2 / -10.6 | | | | |